

# АЛГОРИТМЫ РАЗРЕШЕНИЯ КОНФЛИКТОВ НА МНОЖЕСТВЕ ПРОСТРАНСТВЕННЫХ ТРАЕКТОРИЙ БЕСПИЛОТНЫХ ЛЕТАТЕЛЬНЫХ АППАРАТОВ



**Андрейчук Антон  
Андреевич**

Российский университет  
дружбы народов



**Яковлев Константин  
Сергеевич, к.ф.-м.н.**

Федеральный  
исследовательский центр  
«Информатика и управление»  
Российской Академии Наук



Работа выполнена при финансовой поддержке РФФИ (проект № 15-37-20893.)

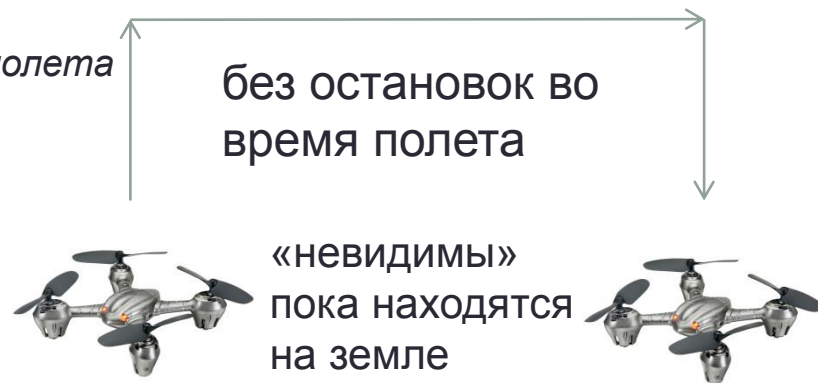




# Рассматриваемый сценарий



- Агенты = БПЛА, передвигающиеся в городе
  - с постоянной скоростью,
  - на заданной высоте,
  - *без возможности останавливаться во время полета*
- Каждый агент
  - Изначально находится на земле
  - Взлетает (возможно с некоторой задержкой)
  - Осуществляет полет к заданной цели
  - Приземляется (*тем самым исчезает с радара*)
- Стоимость решения
  - Сумма стоимостей индивидуальных решений каждого агента
- **100+ агентов** на графах большой размерности
  - Поиск оптимального решения может быть очень затратным. В работе [Boyarski et al., 2015b] алгоритм CBS смог решить только **50%** заданий для **80 агентов** (MT-граф размером 250x250 вершин, максимальное время работы – 5 мин.)
  - **Целью является получение субоптимальных решений с низкими вычислительными затратами**



[Boyarski et al., 2015b] E. Boyarski, A. Felner, R. Stern, G. Sharon, O. Betzalel, D. Tolpin, and E. Shimony. ICBS: The improved conflict-based search algorithm for multi-agent pathfinding. In Eighth Annual Symposium on Combinatorial Search, 2015.

# Предлагаемый подход

- **Децентрализованный подход:**
  - Независимое планирование траекторий, то есть траектория каждого агента строится без учета положения других агентов.
    - Theta\* [Nash et al., 2007]
    - LIAN [Yakovlev et al., 2015]
- **Централизованный процесс разрешения конфликтов**
  - **Формализовано понятие конфликта**
  - **Предложен алгоритм разрешения конфликтов**
    - Может быть представлен как жадная версия алгоритма CBS
    - На данный момент недостаточно хорошо изучен теоретически
    - Эффективен в практических задачах

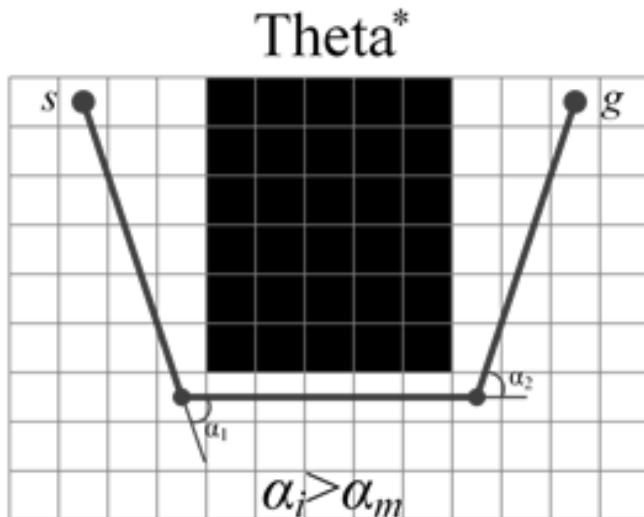
[Nash et al., 2007] Alex Nash, Kenny Daniel, Sven Koenig, and Ariel Felner. Theta\*: Any-angle path planning on grids. In Proceedings of the National Conference on Artificial Intelligence, volume 22, page 1177, Menlo Park, Calif, 2007. AAAI Press.

[Yakovlev et al., 2015] Konstantin Yakovlev, Egor Baskin, and Ivan Hramoin. Grid-based angle-constrained path planning. In Proceedings of The 38th Annual German Conference on Artificial Intelligence (KI2015), pages 208–221. Springer International Publishing, 2015.

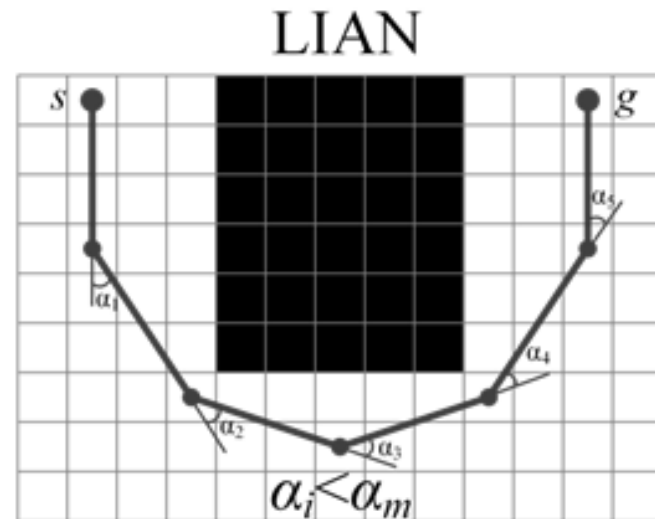
# Виды путей

- Агент может двигаться в любом направлении
  - При условии, что концы секции находятся в центрах клеток

**Theta\*** строит пути, которые состоят из последовательностей смежных секций – отрезков, соединяющих центры двух клеток.

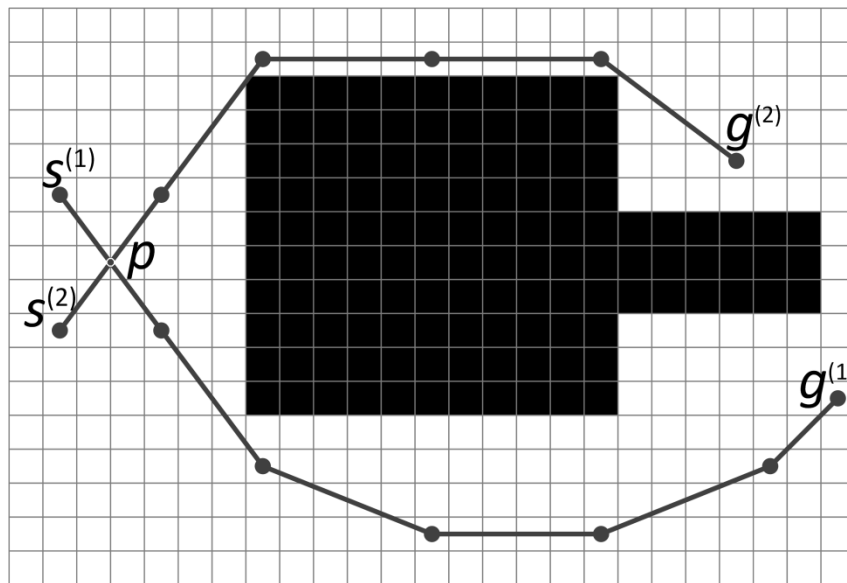


**LIAN** строит пути, которые состоят из последовательностей смежных секций, угол между которыми меньше некоторого заданного значения.



# Δ-пути

- Задано фиксированное значение  $\Delta$
- **Δ-секция** – такая секция  $e$ , что  $len(e) \approx \Delta$
- **Δ-путь** – путь состоящий из Δ-секций, за исключением последней секции



- (1) angle-constrained Δ-путь,  $\Delta=5$ ,  $\alpha_m=25^\circ$
- (2) any-angle Δ-путь,  $\Delta=5$

- (1) LIAN строит Δ-пути по умолчанию
- (2) Theta\* может быть легко модифицирован для построения Δ-путей



## Определения (2/2) :: Конфликты

Пусть задана точка  $p$ :  $p \in e_j^{(i)}$  ( $e_j^{(i)} \in \pi^{(i)}$ ,  $\pi^{(i)} \in PPS^{(i)}$ )

**g-значение** этой точки:

Стартовая вершина секции  
↓

$$g(p, e_j^{(i)}, PPS^{(i)}) = t^{(i)} + \text{len}(e_1^{(i)}) + \dots + \text{len}(e_{j-1}^{(i)}) + \text{dist}(\text{sp}(e_j^{(i)}), p)$$

Пусть даны секции  $e_i \in PPS^{(1)}$  и  $e_j \in PPS^{(2)}$

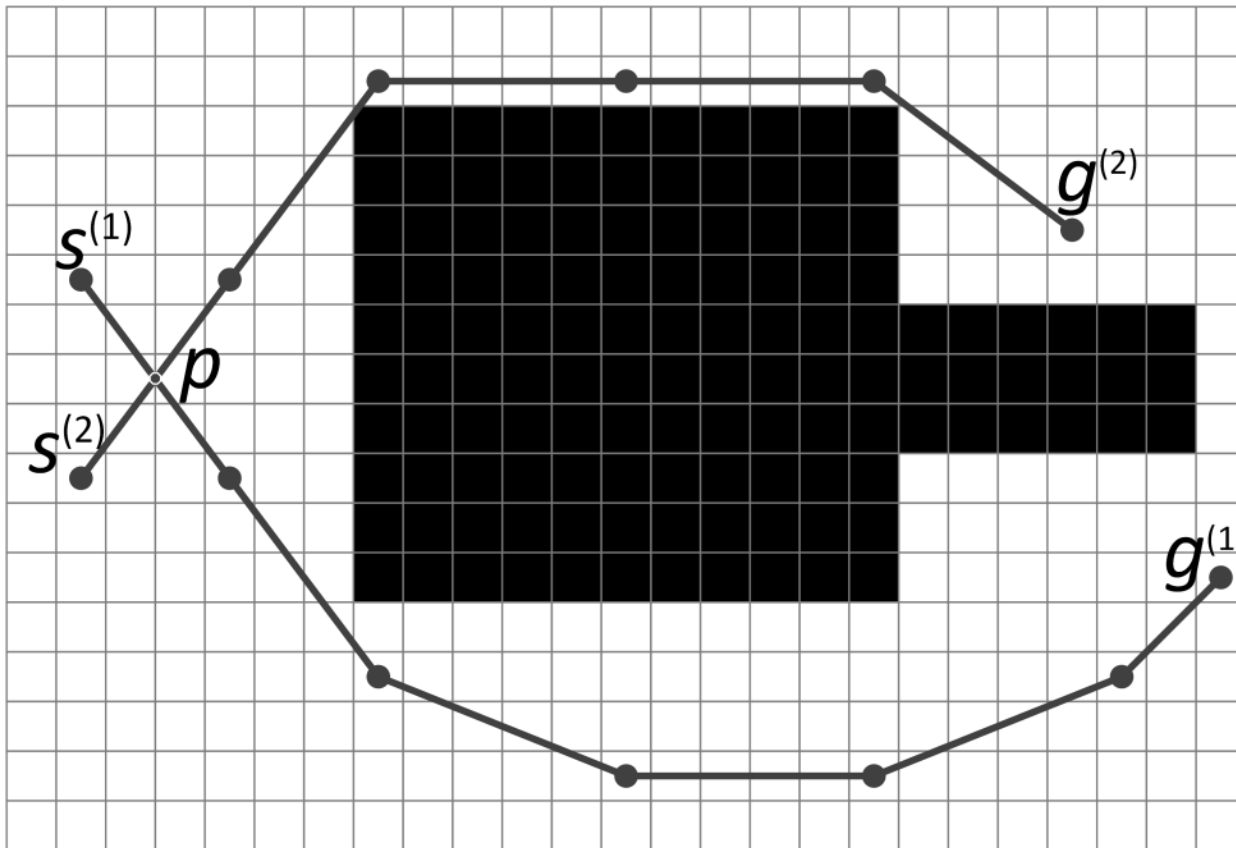
**Секции являются конфликтными**:  $(e_i, e_j) \in \text{SCON}$  если

$$\exists p: p \in e_i, p \in e_j, \mathbf{g(p, e_i, PPS^{(1)}) = g(p, e_j, PPS^{(2)})}$$

**Частичное решение является конфликтным**:  $(PPS^{(1)}, PPS^{(2)}) \in \text{CON}$  если

$$\exists e_i \in \pi^{(1)}, e_j \in \pi^{(2)}: (e_i, e_j) \in \text{SCON}$$

# Конфликты :: Пример



Если

$$g(p, e_j, PPS^{(1)}) = g(p, e_j, PPS^{(2)}),$$

тогда  $PPS^{(1)}$  и  $PPS^{(2)}$  имеют

конфликт между собой

**Цель**

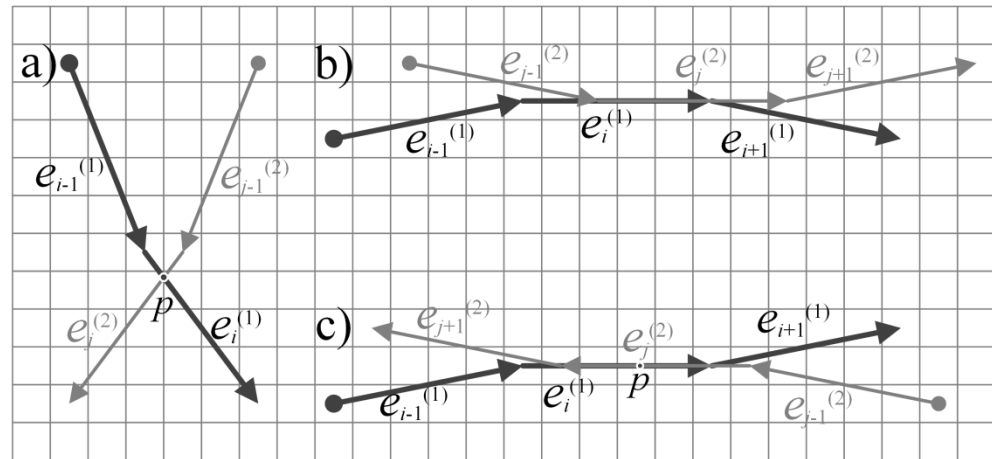
Устранить все конфликты и получить **неконфликтное решение**

**Решение** является неконфликтным если  $\forall i, j=1..n (PPS^{(i)}, PPS^{(j)}) \notin \text{CON}$



# Типы конфликтов

- a) Пересечение
- b) Преследование
- c) Лобовое столкновение



## Условия

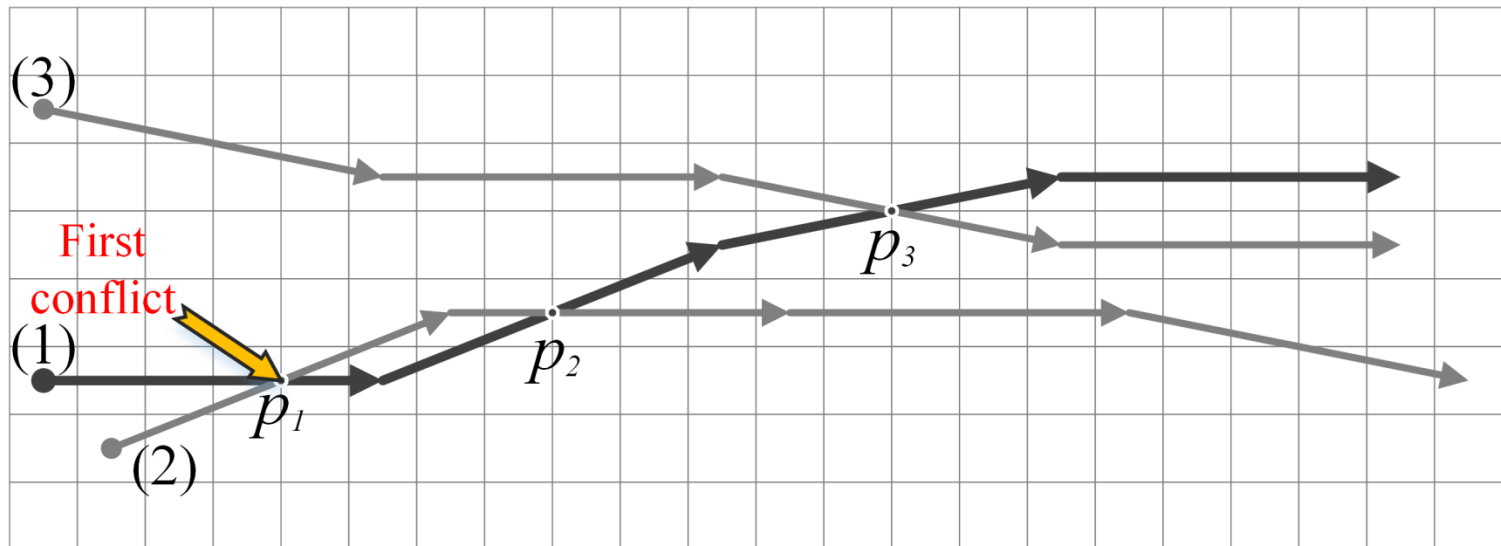
- 1) if  $dist(ep(e_i^{(1)}), ep(e_j^{(2)})) > len(e_i^{(1)}) + len(e_j^{(2)}) \Rightarrow$  конфликт не может существовать  
Агенты находятся слишком далеко друг от друга в пространстве
- 2) if  $g(sp(e_i^{(1)}), PPS^{(1)}) \leq g(ep(e_j^{(2)}), PPS^{(2)})$  and  $g(sp(e_j^{(2)}), PPS^{(2)}) \leq g(ep(e_i^{(1)}), PPS^{(1)}) \Rightarrow$  конфликт не может существовать  
Агенты находятся слишком далеко друг от друга во времени

# Процедура идентификации конфликтов

- **if** конфликт может существовать
  - **if** секции **не коллинеарны** // возможен конфликт только 1-го типа
    - Проверить на конфликт типа **пересечение**  
*рассчитать  $g$ -значения точки пересечения и проверить на эквивалентность*
  - **else** // секции находятся на одной прямой
    - **if** секции сонаправлены
      - Проверить на конфликт типа **преследование**  
*рассчитать  $g$ -значение до любой точки в общем участке и проверить на эквивалентность*
    - **else** // секции разнонаправленны
      - Проверить на конфликт типа **лобовое столкновение**  
***if**  $g(sp(e_i^{(1)}), PPS^{(1)}) + dist(sp(e_i^{(1)}), ep(e_j^{(2)})) \leq g(ep(e_j^{(2)}), PPS^{(2)})$  **and**  
 $g(sp(e_j^{(2)}), PPS^{(2)}) + dist(sp(e_j^{(2)}), ep(e_i^{(1)})) \leq g(ep(e_i^{(1)}), PPS^{(1)})$   
 $\Rightarrow$  **Конфликт существует***

# Функция *FindFirstConflict*

- Вход:           частичное решение  $PPS^{(i)} \in PS$   
набор частичных решений  $PS' \subseteq PS$
- Выход:       **первый найденный** конфликт (пара секций)  
// в случае, когда конфликтов нет - возвращается  $\emptyset$



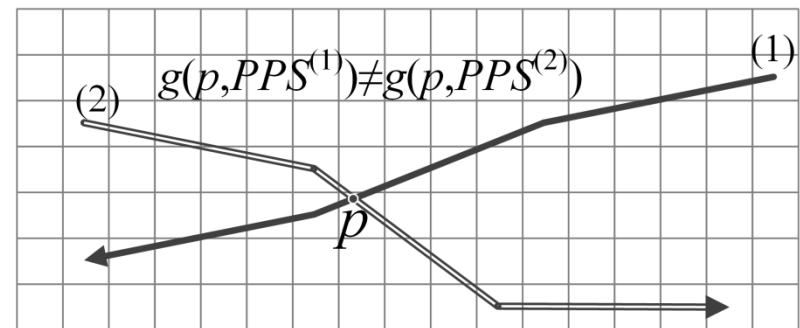
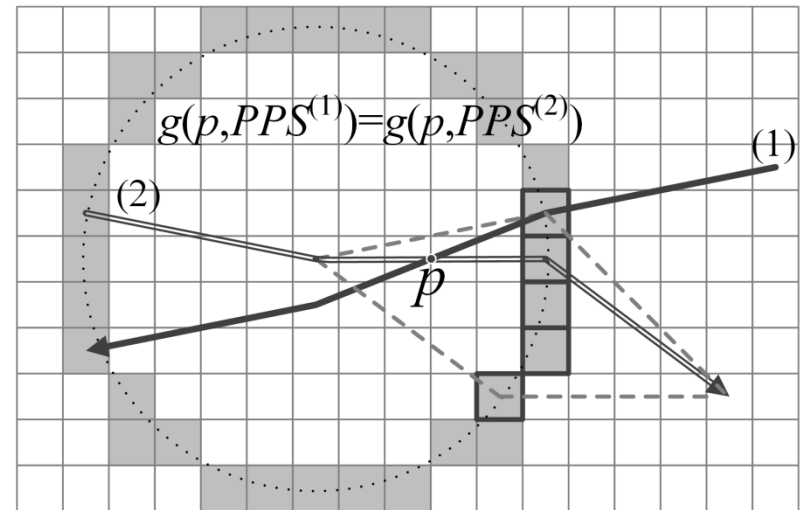
# Локальное перепланирование

## Идея

Построить похожий по форме путь с минимальными изменениями

## Реализация

- Построить окружность  
центр – стартовая вершина секции  
радиус =  $\Delta$
- Отсечь вершины,  
неудовлетворяющие  
ограничению на угол  
отклонения  
значение  $\alpha_m$  ( $0 < \alpha_m < 90$ ) является  
входным параметром
- Выбрать вершину из  
результатирующего множества



# Алгоритм разрешения конфликтов

## Algorithm 1: Conflicts resolution

**Input:**  $PS, \Delta, \alpha_m, wait$ ; **Output:**  $PS' \in \text{NoCON}$

```

1:  $\{HEAD, TAIL\} \leftarrow \text{FormHeadAndTail}(PS)$ 
2: while  $TAIL \neq \emptyset$  do
3:    $PPS^{(cur)} = \text{argmin}_{PPS \in TAIL} \text{NumberOfConflicts}(PPS, TAIL \cup HEAD)$ 
4:    $TAIL.remove(PPS^{(cur)})$ 
5:   while  $(\{e_v^{(cur)}, e_w^{(k)}\} \leftarrow \text{FindFirstConflict}(PPS^{(cur)}, HEAD)) \neq \emptyset$  do
6:      $\pi^{(new)} \leftarrow \text{ComputeLocalDetour}(PPS^{(cur)}, e_v^{(cur)}, PPS^{(k)}, \Delta, \alpha_m)$ 
7:     if  $\pi^{(new)} = \pi^{(cur)}$  then
8:        $t^{(cur)} += wait$ 
9:     else
10:       $\{e_t^{(new)}, e_s^{(m)}\} \leftarrow \text{FindFirstConflict}(PPS^{(new)}, HEAD)$ 
11:      if  $\{e_t^{(new)}, e_s^{(m)}\} = \emptyset$  or  $t > v$  then
12:         $\pi^{(cur)} = \pi^{(new)}$ 
13:      else
14:         $t^{(cur)} += wait$ 
15:    $HEAD.add(PPS^{(cur)})$ 
16: return  $HEAD$ 

```

### Идея

$HEAD$  – «хорошие» агенты (набор частичных решений не имеющих конфликтов между собой)

$TAIL$  – «плохие» агенты (частичные решения, которые имеют конфликты с агентами из  $HEAD$ )

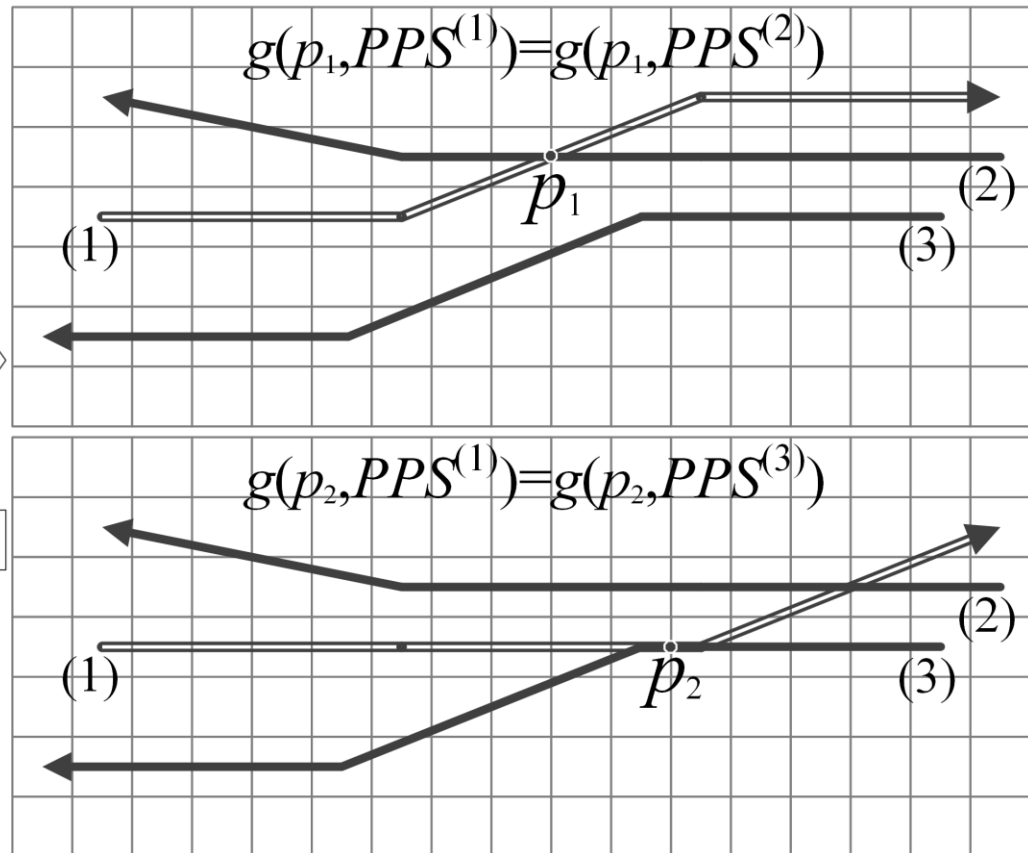
### Шаг алгоритма

- Выбрать одного агента из  $TAIL$
- Устранить все конфликты с  $HEAD$
- Добавить в  $HEAD$

**Предотвращение  
заикливания**

# Предотвращение зацикливания (Строки 10-14) :: Пример

- Агент (1) конфликтует с агентом (2)
- Конфликт разрешен, но теперь агент (1) конфликтует с агентом (3)
- Конфликт разрешен, но ...  
Возникает цикл



## Решение

1. Отменить перепланирование
2. Изменить частичное решение добавив задержку

# Экспериментальные исследования:: Входные данные

**OpenStreetMaps** → 1347 x 1347 m  
фрагменты городских карт  
(20-25% площади карт - здания)

**100 фрагментов**

1 фрагмент ~ **501 x 501**  
(1 клетка ~ 2,7 m<sup>2</sup>)

**1 задание** = стартовые и целевые  
положения для **100** агентов

2 типа расположения стартов и целей:

**Тип-1** (разрозненный)

**Тип-2** (сгруппированный)

2 задания первого типа на карту

2 задания второго типа на карту

**400** заданий всего



**Тип-1**

**Тип-2**

# Экспериментальные исследования: Оборудование и алгоритмы

## Конфигурация ПК

ОС: Windows7

CPU: iCore2Quad Q8300 @2.5ГГц

RAM: 2Гб

## Параметры алгоритма

- $\Delta = 5$
- $\alpha_m = 25^\circ$
- *wait* = 5

## Алгоритмы планирования

- Theta \* (модифицирован для построения  $\Delta$ -путей)
- LIAN (для ускорения поиска использована взвешенная эвристика)

Все алгоритмы были написаны на C++ с использованием одних и тех же структур данных



# Экспериментальные исследования:: Результаты (1/3)

## Количество конфликтов после этапа независимого планирования

	Theta*		LIAN	
	Тип-1	Тип-2	Тип-1	Тип-2
Агенты	42.3	94.83	38.63	98.25
Секции	76.15	2 423.56	64.92	2 457.41

- Результаты сильно разнятся в зависимости от положения агентов

- Каждый агент конфликтует с несколькими другими агентами (в среднем от 2 до 5, как показал дополнительный анализ)
- Небольшое количество агентов создают большое число конфликтов друг с другом.

# Экспериментальные исследования:: Результаты (2/3)

## Статистика разрешенных конфликтов

	Theta*		LIAN	
	Тип-1	Тип-2	Тип-1	Тип-2
	<i>Агенты</i>			
<b>Задержаны</b>	12.07	64.685	15.3	72.335
<b>Перепланированы</b>	14.73	58.565	7.77	64.09
<b>Не изменены</b>	79.54	34.33	80.56	26.44
	<i>Количество разрешенных конфликтов</i>			
<b>Задержкой</b>	21.025	746.085	26.575	1 176.19
<b>Перепланированием</b>	30.935	1 442.185	12.7	638.3

Количество конфликтов, разрешенных с помощью перепланирования, у алгоритма LIAN значительно ниже из-за ограничений на максимальный угол отклонения между секциями.

# Экспериментальные исследования:: Результаты (3/3)

Время работы алгоритма и стоимость найденного решения  
Этап-1 – планирование; Этап-2 – разрешение конфликтов

		Theta*		LIAN	
		Тип-1	Тип-2	Тип-1	Тип-2
Этап-1	Время(с)	7.3783	6.9426	9.5827	5.387
	Стоимость	46 926	46 722	49 636	49 651
Этап-2	Время(с)	0.1466	0.804	0.1441	0.5926
	Стоимость	47 034 (+0.23%)*	50 477 (+8.04%)	49 772 (+0.27%)	55 566 (+11,91%)

- Этап разрешения конфликтов занимает меньше секунды

- Стоимость решения увеличивается незначительно

(\*) В сравнении с начальной стоимостью, а не стоимостью оптимального решения

# Заключение

- Изучена задача планирования совокупности неконфликтных траекторий на МТ-графе для агентов, которые могут перемещаться в любом направлении
- Предложен алгоритм разрешения конфликтов
  - Может быть представлен как жадная версия алгоритма CBS
  - Субоптимальный
  - Вычислительно эффективен на практике (по крайней мере для предложенного в работе сценария)

## Дальнейшая работа

- Экспериментальные исследования и сравнения с алгоритмом CBS
- Теоретическое изучение (доказательство полноты)
- Модификации алгоритма

# Вопросы?

